

Задача об объёме цилиндрического тела

ЛЕКЦИЯ 1. Пусть в плоскости x_1Ox_2 замкнутый контур Γ_G ограничивает область G конечного диаметра $d(G)$ и конечной площади $m(G)$. Если

$$S \triangleq \left\{ \begin{bmatrix} x_1 \\ x_2 \\ z \end{bmatrix} \in \mathbb{R}^3 : z = f(x_1, x_2) \geq 0, \forall \begin{bmatrix} x_1 \\ x_2 \end{bmatrix} \in G \right\} -$$

непрерывная поверхность, то тело T , ограниченное поверхностью S , цилиндрической поверхностью C , ортогональной плоскости x_1Ox_2 , и частью плоскости x_1Ox_2 , представленной G , будем называть цилиндрическим телом.

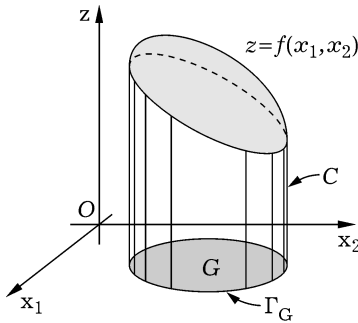


Рис. 1

Задача о нахождении объема цилиндрического тела T решается аналогично задаче о нахождении площади плоской фигуры.

1. G произвольным образом разбиваем на систему подобластей $\{G_k\}_{k=1}^n$, пересекающихся, быть может, лишь по границам, т.е. $m(G_k \cap G_j) = 0, \forall k \neq j$ и $\bigcup_{k=1}^n G_k = G$.

2. Полагаем $m_k \triangleq \inf_{G_k} f(x_1, x^2)$ и $M_k \triangleq \sup_{G_k} f(x_1, x^2)$.

3. Т.к. цилиндр с основанием G_k и высотой m_k целиком содержится в T , а цилиндр с основанием G_k и высотой M_k целиком содержит соответствующую часть тела T , то для ступенчатых тел A_n и B_n , образованных этими цилиндрами соответственно, имеем: $A_n \subset T \subset B_n$.

4. Из свойств объемов объемлемых и объемлющих тел следует:

$$V(A_n) = \sum_{k=1}^n m_k \cdot m(G_k) \leq V(T) \leq \sum_{k=1}^n M_k \cdot m(G_k) = V(B_n) \quad (*)$$

5. Пусть $x_{1k}, x_{2k} \in G_k$ – произвольная отмеченная точка. Тогда из неравенства $m_k \leq f(x_{1k}, x_{2k}) \leq M_k$ следует:

$$V(A_k) = \sum_{k=1}^n m_k \cdot m(G_k) \leq \sum_{k=1}^n f(x_{1k}, x_{2k}) \cdot m(G_k) \leq \sum_{k=1}^n M_k \cdot m(G_k) = V(B_n) \quad (**)$$

6. При дроблении подобластей $\{G_k\}$ объем $V(A_n)$ будет монотонно возрастать, оставаясь меньше числа $\max_G f(x_1, x_2) \cdot m(G)$, а $V(B_n)$ – монотонно убывать, оставаясь больше числа $\min_G f(x_1, x_2) \cdot m(G)$.

Т.о. $\left(\exists \lim_{\max d(G_k) \rightarrow 0} V(A_n) \right) \wedge \left(\exists \lim_{\max d(G_k) \rightarrow 0} V(B_n) \right)$. При этом тела A_n и B_n все более точно повторяют тело T .

7. Если считать, что $\lim_{\max d(G_k) \rightarrow 0} V(A_n) = \lim_{\max d(G_k) \rightarrow 0} V(B_n)$, то согласно (*) и (**)

$$V(T) = \lim_{\max d(G_k) \rightarrow 0} V(A_n) = \lim_{\max d(G_k) \rightarrow 0} V(B_n) = \lim_{\max d(G_k) \rightarrow 0} \sum_{k=1}^n f(z_{1k}, x_{2k}) m(G_k)$$

Определение. Пусть в замкнутой области G плоскости x_1Ox_2 конечной площади $\sigma = m(G)$ и конечного диаметра $d(G)$ определена скалярная функция $z = f(x_1, x_2)$. Пусть $\{G_k\}$ – произвольное разбиение G на систему подобластей, пересекающихся, быть может, лишь по границам, а $M_k = (x_{1k}, x_{2k}) \in G_k$ – произвольная отмеченная точка. Если вне зависимости от выбора разбиения $\{G_k\}$ и системы отмеченных точек $\{M_k\}$

$\exists \lim_{\max d(G_k) \rightarrow 0} \sum_k f(M_k) \cdot m(G_k)$, то его называют *двойным интегралом функции f по области G* и обозначают $\iint_G f(x_1, x_2) dx_1 dx_2$ или $\iint_G f(x_1, x_2) d\sigma$.

Теорема существования. Для любой функции $z = f(x_1, x_2)$, непрерывной в ограниченной замкнутой области $G \subset \mathbb{R}^2$, имеющей конечную площадь $\sigma = m(G)$ и конечный диаметр $d(G)$, существует $\iint_G f(x_1, x_2) dx_1 dx_2$.

Основные свойства двойных интегралов, следующие из определения

$$1. \iint_G \sum_{k=1}^N C_k f_k(x_1, x_2) d\sigma = \sum_{k=1}^N C_k \iint_G f_k(x_1, x_2) d\sigma - \text{линейность.}$$

$$2. \iint_G C \cdot d\sigma = C \cdot m(G).$$

$$3. \left\{ G = \bigcup_{k=1}^N G_k \right\} \wedge \left\{ m(G_k \cap G_j) = 0, \forall k \neq j \right\} \Rightarrow \iint_G f d\sigma = \sum_{k=1}^N \iint_{G_k} f d\sigma$$

$$4. \left\{ f \geqslant 0, \forall \begin{bmatrix} x_1 \\ x_2 \end{bmatrix} \in G \right\} \Rightarrow \iint_G f d\sigma \geqslant 0.$$

$$5. \left\{ f \geqslant 0 \wedge f \not\equiv 0, \forall \begin{bmatrix} x_1 \\ x_2 \end{bmatrix} \in G \right\} \Rightarrow \iint_G f d\sigma \geqslant 0.$$

$$6. \left\{ f \leqslant \varphi \wedge f \not\equiv \varphi, \forall \begin{bmatrix} x_1 \\ x_2 \end{bmatrix} \in G \right\} \Rightarrow \iint_G f d\sigma < \iint_G \varphi d\sigma$$

$$7. \left| \iint_G f d\sigma \right| \leqslant \iint_G |f| d\sigma$$

Теорема о среднем. Если f и φ непрерывны в замкнутой области $G \subset \mathbb{R}^2$, имеющей конечные $d(G)$ и $m(G)$, и хоть одна из них знакопостоянна в G (пусть φ), тогда

$$\exists \begin{bmatrix} x_1^0 \\ x_2^0 \end{bmatrix} \in G : \iint_G f \cdot \varphi \cdot d\sigma = f(x_1^0, x_2^0) \iint_G \varphi d\sigma.$$

Доказательство. Пусть для определенности в G функция $\varphi > 0$. Тогда $\forall \begin{bmatrix} x_1 \\ x_2 \end{bmatrix} \in G$ $m \triangleq \max_G f \leqslant f(x_1, x_2) \leqslant M \triangleq \max_G f \Leftrightarrow m\varphi \leqslant f\varphi \leqslant M\varphi, \forall \begin{bmatrix} x_1 \\ x_2 \end{bmatrix} \in G$. Так как случай $f \equiv C - \text{const}$ на G тривиален, то, согласно свойствам 1 и 7 двойного интеграла, имеем:

$$m \iint_G \varphi d\sigma < \iint_G f \varphi d\sigma < M \iint_G \varphi d\sigma$$

Таким образом $\exists \mu \in (m; M) : \mu = \iint_G f \varphi d\sigma / \iint_G \varphi d\sigma$. Но f непрерывна в G и принимает все

промежуточные значения из $[m : M]$, т.е. $\exists \begin{bmatrix} x_1^0 \\ x_2^0 \end{bmatrix} \in G : f(x_1^0, x_2^0) = \mu$, что и требовалось доказать.

Следствие из теоремы. Если $\varphi \equiv 1$ в G , то $\exists \begin{bmatrix} x_1^0 \\ x_2^0 \end{bmatrix} \in G : \iint_G f d\sigma = f(x_1^0, x_2^0) \cdot m(G)$.

Вычисление двойного интеграла в декартовых координатах

Пусть $\text{Пр}_{OX_1}G = [a; b]$ и граница Γ_G области G пересекается прямой, ортогональной OX_1 и проходящей через любую точку $(a; b)$, в двух точках. Тогда $x_2 = \psi_1(x_1)$ и $x_2 = \psi_2(x_1)$ – уравнения нижнего и верхнего участков Γ_G соответственно.

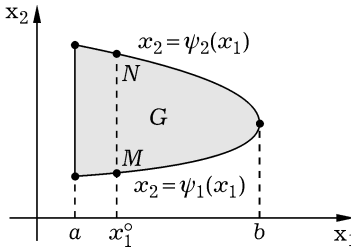


Рис. 2

Рассекаем тело T плоскостью $x_1 = x_1^0 \in (a; b)$ и получаем пластину P с площадью $S(x_1^0) = \int_{\psi_1(x_1^0)}^{\psi_2(x_1^0)} f(x_1^0, x_2) dx_2$.

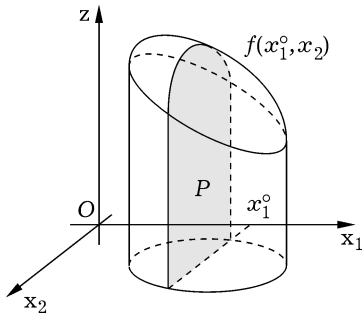


Рис. 3

А т.к. точка $x_1^0 \in (a; b)$ – произвольная, то, с использованием известной формулы, находим:

$$V(T) = \iint_G f d\sigma = \int_a^b S(x_1) dx_1 = \int_a^b \left\{ \int_{\psi_1(x_1)}^{\psi_2(x_1)} f(x_1, x_2) dx_2 \right\} dx_1 \equiv \int_a^b dx_1 \int_{\psi_1(x_1)}^{\psi_2(x_1)} f(x_1, x_2) dx_2$$

P.S. Оси Ox_1 и Ox_2 – равноправны и при выполнении оговоренных условий мы можем проектировать G на Ox_2 .

Пример. Пусть G представлена на рис.4. Тогда

$$\begin{aligned} \iint_G x_1 d\sigma &= \int_0^{\sqrt{2}/2} dx_2 \int_{x_2}^{\sqrt{1-x_2^2}} x_1 dx_1 = \int_0^{\sqrt{2}/2} \frac{x_1^2}{2} \Big|_{x_2}^{\sqrt{1-x_2^2}} dx_2 = \\ &= \frac{1}{2} \int_0^{\sqrt{2}/2} \left\{ 1 - x_2^2 - x_2^2 \right\} dx_2 = \frac{1}{2} \left\{ x_2 - \frac{x_2^3}{3} \right\} \Big|_0^{\sqrt{2}/2} = \frac{1}{2} \left\{ \frac{\sqrt{2}}{2} - \frac{\sqrt{2}}{6} \right\} = \frac{\sqrt{2}}{6}. \end{aligned}$$

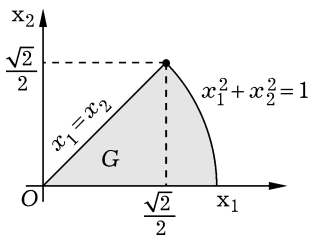


Рис. 4

ЛЕКЦИЯ 2. Пусть $f(x_1, x_2) < 0$ на G . В этом случае $-f(x_1, x_2) > 0$ в G и объем $V(T)$ цилиндрического тела T равен: $\iint_G \{-f\} d\sigma = \int_a^b dx_1 \int_{\psi_1(x_1)}^{\psi_2(x_1)} \{-f\} dx_2 = - \int_a^b dx_1 \int_{\psi_1(x_1)}^{\psi_2(x_1)} f dx_2$. При этом

$$\iint_G f d\sigma = - \iint_G \{-f\} d\sigma = \int_a^b dx_1 \int_{\psi_1(x_1)}^{\psi_2(x_1)} f dx_2.$$

Если в G функция f меняет знак, то разбиваем G на систему подобластей $\{G_k\}$, кои могут пересекаться лишь по границам и в каждой подобласти $\{G_k\}$ f сохраняет знак. Тогда $\iint_G f d\sigma = \sum_k \iint_{G_k} f d\sigma$ и каждый интеграл в правой части вычисляем стандартным способом.

Замена переменных в двойном интеграле.

Пусть существует $\iint_G f(x_1, dx_2) dx_1 dx_2$, но его непосредственное вычисление затруднительно.

Произведем замену переменных:

$$\begin{aligned} x_1 &= \varphi_1(u, v) \\ x_2 &= \varphi_2(u, v) \end{aligned} \quad] \quad (1),$$

где φ_1 и φ_2 определены и непрерывно дифференцируемы в некоторой области $D \subset \mathbb{R}^2$ изменения новых независимых переменных. Кроме того, будем предполагать, что ни в одной точке области D функциональный определитель

$$J(u, v) \triangleq \begin{vmatrix} \partial \varphi_1 / \partial u & \partial \varphi_1 / \partial v \\ \partial \varphi_2 / \partial u & \partial \varphi_2 / \partial v \end{vmatrix} \quad (2),$$

называемый *якобианом*, не обращается в нуль, т.е. $J(u, v)$ – непрерывная знакопостоянная в D функция.

Сделанные предположения гарантируют существование обратного к (1) отображения G в D :

$$\begin{aligned} u &= \Phi(x_1, x_2) \\ v &= \Psi(x_1, x_2) \end{aligned} \quad] \quad (3).$$

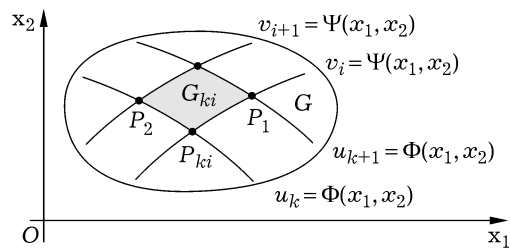
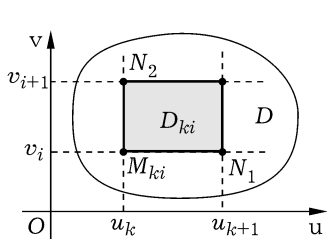


Рис. 5

При этом граничные точки переходят в граничные, а внутренние точки – во внутренние.

Для записи искомого интеграла при использовании преобразования (1) разбиваем D на систему подобластей двумя семействами прямых $\{u = u_k\} \wedge \{v = v_i\}$. В этом случае область G двумя семействами кривых $\{u_k = \Phi(x_1, x_2)\} \wedge \{v_i = \Psi(x_1, x_2)\}$ также разбивается на систему подобластей $\{G_{ki}\}$, которые могут пересекаться лишь по границам.

Пусть для определенности $M_{ki} \longleftrightarrow P_{ki}$ и $N_i \leftrightarrow P_i$. С точностью до бесконечно малых более высокого порядка $m(G_{ki})$ равна площади параллелограмма, "натянутого" на векторы $\overrightarrow{P_{ki}P_1}$ и $\overrightarrow{P_{ki}P_2}$, т.е.

$$\begin{aligned} m(G_{ki}) &\approx \text{mod} \begin{vmatrix} \varphi_1(M_{ki}) & \varphi_2(M_{ki}) & 1 \\ \varphi_1(N_1) & \varphi_2(N_1) & 1 \\ \varphi_1(N_2) & \varphi_2(N_2) & 1 \end{vmatrix} \equiv \text{mod} \begin{vmatrix} \varphi_1(M_{ki}) & \varphi_2(M_{ki}) & 1 \\ \varphi_1(N_1) - \varphi_1(M_{ki}) & \varphi_2(N_1) - \varphi_2(M_{ki}) & 0 \\ \varphi_1(N_2) - \varphi_1(M_{ki}) & \varphi_2(N_2) - \varphi_2(M_{ki}) & 0 \end{vmatrix} \equiv \\ &\equiv \text{mod} \begin{vmatrix} \varphi_1(N_1) - \varphi_1(M_{ki}) & \varphi_2(N_1) - \varphi_2(M_{ki}) \\ \varphi_1(N_2) - \varphi_1(M_{ki}) & \varphi_2(N_2) - \varphi_2(M_{ki}) \end{vmatrix} \approx \text{mod} \begin{vmatrix} \partial\varphi_1(M_{ki})/\partial u & \partial\varphi_2(M_{ki})/\partial u \\ \partial\varphi_1(M_{ki})/\partial v & \partial\varphi_2(M_{ki})/\partial v \end{vmatrix} \Delta u_k \cdot \Delta v_i \equiv \\ &\equiv |J(M_{ki})| \cdot m(D_{ki}) \end{aligned}$$

Таким образом, имеем:

$$\begin{aligned} \iint_G f(x_1, x_2) dx_1 dx_2 &= \lim_{\max d(G_{ki}) \rightarrow 0} \sum_{k,i} f(P_{ki}) m(G_{ki}) = \\ &= \lim_{\max d(D_{ki}) \rightarrow 0} \sum_{k,i} f(P_{ki}) |J(M_{ki})| m(D_{ki}) = \\ &= \iint_G f((\varphi_1(u, v), \varphi_2(u, v)) |J(u, v)| du dv \end{aligned}$$

Замечания.

1. Можно показать корректность полученного результата и в случае обращения в нуль якобиана $J(u, v)$ преобразования (1) в одной или нескольких точках области D .

Пример 1. Пусть $d > 0$ и $0 < \alpha < \beta$. В интеграле $\int_a^b dx \int_{\alpha x}^{\beta x} f(x, y) dy$ нужно сделать замену переменных: $\begin{cases} x = u - uv \\ y = uv \end{cases}$. Имеем $J(u, v) = \begin{vmatrix} 1-v & -u \\ v & u \end{vmatrix} = u$.
 $(y = \alpha x) \Rightarrow \begin{cases} u = x + y = (1 + \alpha)x \\ uv = \alpha x \end{cases} \Rightarrow \left(v = \frac{\alpha}{1 + \alpha}\right)$
 $(y = \beta x) \Rightarrow (\text{совершенно аналогично}) \Rightarrow \left(v = \frac{\beta}{1 + \beta}\right)$.

А так как $(0 < \alpha < \beta)$, то $\frac{\alpha}{1 + \alpha} < \frac{\beta}{1 + \beta}$.

$(x = d) \Rightarrow (d = u - uv) \Rightarrow \left(v = 1 - \frac{d}{u}\right)$.

$(x = 0 = y) \Rightarrow (u = 0)$.

Равенство $J(0, v) = 0$ приводит к вырождению угловой точки в отрезок (см. рис.6 и рис.7).

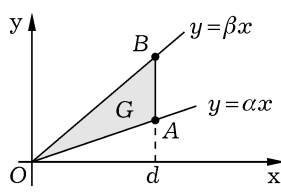


Рис. 6

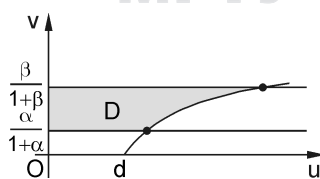


Рис. 7

$$\int_0^d dx \int_{\alpha x}^{\beta x} f(x, y) dy = \int_{\alpha/(1+\alpha)}^{\beta/(1+\beta)} dv \int_0^{d/(1-v)} f(u - uv; uv) u du.$$

2. Переход к полярным координатам:

$$\begin{cases} x_1 = r \cos \varphi \\ x_2 = r \sin \varphi \end{cases} \Rightarrow J(r, \varphi) = \begin{vmatrix} \cos \varphi & -r \sin \varphi \\ \sin \varphi & \sin \varphi \end{vmatrix} \equiv r$$

$$\iint_G f(x_1, x_2) dx_1 dx_2 = \iint_D f(r \cos \varphi, r \sin \varphi) r dr d\varphi$$

Пример 2.

$$\iint_{1 \leq x_1^2 + x_2^2 \leq 4} (x_1^2 + x_2^2)^{-1/2} \exp(\sqrt{x_1^2 + x_2^2}) dx_1 dx_2 = \int_0^{2\pi} d\varphi \int_1^2 \frac{1}{r} e^r \cdot r dr = 2\pi(e^2 - e).$$

3. Площадь плоской фигуры $G = \{r = r(\varphi); \varphi_1 < \varphi < \varphi_2\}$:

$$m(G) = \iint_G dx_1 dx_2 = \int_{\varphi_1}^{\varphi_2} d\varphi \int_0^{r(\varphi)} r dr = \frac{1}{2} \int_{\varphi_1}^{\varphi_2} r^2(\varphi) d\varphi$$

4. Переход к обобщенным полярным координатам:

$$\begin{cases} x_1 = ar \cos \varphi \\ x_2 = br \sin \varphi \end{cases} \Rightarrow J(r, \varphi) = \begin{vmatrix} a \cos \varphi & -ar \sin \varphi \\ b \sin \varphi & b \sin \varphi \end{vmatrix} = abr$$

$$\iint_G f(x_1, x_2) dx_1 dx_2 = \iint_D f(ar \cos \varphi, br \sin \varphi) abr dr d\varphi$$

Пример 3. Найти объем V , ограниченный эллипсоидом с полуосями a, b, c : $x_1^2/a^2 + x_2^2/b^2 + x_3^2/c^2 = 1$.

$$V = 2 \iint_{\frac{x_1^2}{a^2} + \frac{x_2^2}{b^2} \leq 1} c \sqrt{1 - \frac{x_1^2}{a^2} - \frac{x_2^2}{b^2}} dx_1 dx_2 = \left\{ \begin{array}{l} x_1 = ar \cos \varphi \\ x_2 = br \sin \varphi \end{array} \mid \begin{array}{l} 0 \leq r \leq 1 \\ 0 \leq \varphi \leq 2\pi \end{array} \right\} =$$

$$= 2abc \int_0^{2\pi} d\varphi \int_0^1 \sqrt{1 - r^2} r dr = 4\pi abc \int_0^1 \sqrt{1 - r^2} r dr = \frac{4}{3}\pi abc$$

Площадь поверхности

ЛЕКЦИЯ 3. Пусть функция $z = f(x_1, x_2)$ определена и непрерывно дифференцируема в замкнутой области $G \subset \mathbb{R}^2 : d(G) < \infty, m(G) < \infty$. В этом случае поверхность

$$S = \left\{ \begin{bmatrix} x_1 \\ x_2 \\ z \end{bmatrix} \in \mathbb{R}^3 : z = f(x_1, x_2), \forall \begin{bmatrix} x_1 \\ x_2 \end{bmatrix} \in G \subset \mathbb{R}^2 \right\}$$

является гладкой, т.е. в любой точке к ней может быть проведена касательная плоскость, нормаль которой непрерывно зависит от точки касания.

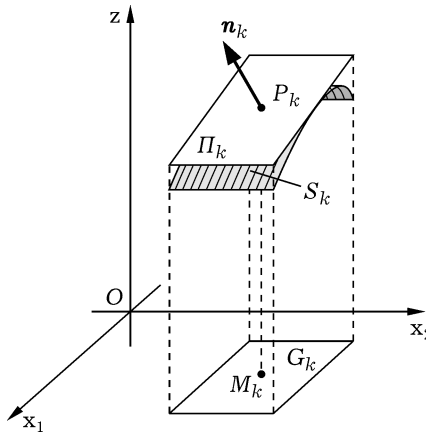


Рис. 8

Область G произвольным образом разбиваем на систему подобластей $\{G_k\}$, пересекающихся, быть может, лишь по границам. В каждой подобласти G_k произвольным образом выбираем от-

меченную точку M_k с координатами (x_{1k}, x_{2k}) и в точке $P_k = \begin{bmatrix} x_{1k} \\ x_{2k} \\ f(x_{1k}, x_{2k}) \end{bmatrix} \in S$ проводим к S касательную плоскость, вектор нормали $\vec{n}_k \equiv \vec{n}(P_k)$ которой образует с осью OZ острый угол. Пусть далее S_k – часть поверхности S , которая проектируется в G_k ; Π_k – часть плоскости, касательной к S в точке P_k , которая проектируется в G_k . Таким образом, $S = \bigcup_k S_k$, $m(S) = \sum_k m(S_k)$,

$\text{Pr}_{x_1 O x_2} \Pi_k = G_k = \text{Pr}_{x_1 O x_2} S_k$ и поверхность S оказываются покрытой "чешуйчатой" поверхностью $\Pi = \bigcup_k \Pi_k$, грани которой – плоские фигуры $\{\Pi_k\}$, лежащие в касательных к S плоскостях и

$$\left(m(\Pi) = \sum_k m(\Pi_k) \right) \wedge \left(m(S) \triangleq \lim_{\max d(G_k) \rightarrow 0} \sum_k m(\Pi_k) \right)$$

Из геометрии известно, что $m(G_k) = m(\Pi_k) \cos \gamma_k$, где γ_k – угол между \overrightarrow{OZ} и \vec{n}_k , т.е.

$$\cos \gamma_k = 1 / \sqrt{1 + \{f'_x(M_k)\}^2 + \{f'_y(M_k)\}^2}.$$

Таким образом

$$\begin{aligned} m(S) &= \lim_{\max d(G_k) \rightarrow 0} \sum_k \frac{m(G_k)}{\cos \gamma_k} = \lim_{\max d(G_k) \rightarrow 0} \sum_k \sqrt{1 + \{f'_x(M_k)\}^2 + \{f'_y(M_k)\}^2} m(G_k) = \\ &= \iint_G \sqrt{1 + \{f'_x\}^2 + \{f'_y\}^2} dx_1 dx_2, \end{aligned}$$

т.к. поверхность S – гладкая и подынтегральная функция – непрерывна в G .

Тройной интеграл

Масса неоднородного тела. Пусть в \mathbb{R}^3 определено неоднородное тело T конечного ненулевого объема $m(T)$ и конечного диаметра $d(T)$. Пусть $\mu(X) \equiv \mu(x_1, x_2, x_3)$ – плотность вещества тела T , являющаяся непрерывной функцией своих аргументов и необходимо определить $M(T)$ – массу тела T .

Для нахождения $M(T)$ разбиваем T на систему трехмерных областей $\{T_k\}$, пересекающихся, быть может, лишь по границам:

$$\left(\bigcup_k T_k = T \right) \wedge \left(m(T_k \cap T_j) = 0, \forall k \neq j \right).$$

В каждом теле T_k произвольным образом выбираем отмеченную точку $P_k = (x_{1k}, x_{2k}, x_{3k}) \in T_k$ и считаем, что $\mu(P_k) \approx \mu(X), \forall X \in T_k$.

А так как с точностью до бесконечно малых $M(T_k) \approx \mu(P_k)m(T_k)$, то естественно считать, что

$$M(T) \triangleq \lim_{\max d(T_k) \rightarrow 0} \sum_k \mu(P_k) m(T_k).$$

Определение. Пусть функция $z = f(x_1, x_2, x_3)$ определена в области $T \subset \mathbb{R}^3$ конечного объема $m(T)$ и конечного диаметра $d(T)$. Если вне зависимости от выбора разбиения T на систему подобластей $\{T_k\}$, пересекающихся, быть может, лишь по границам, и выбора отмеченных точек $\{P_k\}: P_k \in T_k, \forall k$ существует $\lim_{\max d(T_k) \rightarrow 0} \sum_k f(P_k) m(T_k)$, то его называют *тройным интегралом*

функции f по области T и обозначают $\iiint_T f(x_1, x_2, x_3) dx_1 dx_2 dx_3$ или $\int_T f(X) dX$.

Замечания.

1. Если f определена и непрерывна в $T \subset \mathbb{R}^3$ и $0 < m(T) < \infty, d(T) < \infty$, то $\exists \iiint_T f(x_1, x_2, x_3) dx_1 dx_2 dx_3$.
2. $\iiint_T dx_1 dx_2 dx_3 = m(T)$ – объем T .
3. Тройной интеграл обладает теми же свойствами, что и двойной.

Вычисление тройного интеграла.

Пусть $T \subset \mathbb{R}^3$ – замкнутая область конечного объема $m(T)$ и конечного диаметра $d(T)$, ограниченная поверхностью S , которая любой прямой, параллельной оси Ox_3 пересекается не более чем в

двух точках. Если $f(x_1, x_2, x_3)$ определена и непрерывна в T , то $\exists \iiint_T f(x_1, x_2, x_3) dx_1 dx_2 dx_3$.

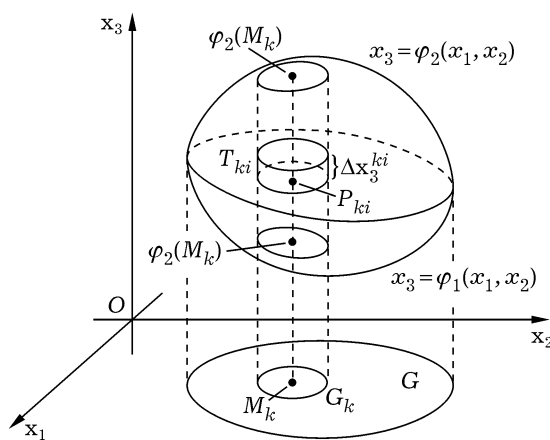


Рис. 9

Область $G = \text{Пр}_{x_1Ox_2} T$ произвольным образом разбиваем на систему подобластей $\{G_k\}$, пересекающихся, быть может, лишь по границам. В каждой подобласти G_k произвольным образом выбираем отмеченную точку M_k с координатами (x_1^k, x_2^k) . Отрезок $[\varphi_1(M_k); \varphi_2(M_k)]$ плоскостями $x_3 = \text{const}$ произвольным образом разбиваем на N частей. Если $T_k \subset T$ – часть T такая, что $\text{Пр}_{x_1Ox_2} T_k = G_k$, то T_{ki} – часть T_k , заключенная между плоскостями $x_3 = x_3^{ki}$ и $x_3 = x_3^{ki+1}$, где $x_3^{ki} < x_3^{ki+1}$. Таким образом, за исключением крайних "срезанных" подобластей, T_{ki} – прямой цилиндр с основанием G_k и высотой $\Delta_3^{ki} = x_3^{ki+1} - x_3^{ki}$, т.е. в общем случае $m(T_{ki}) \approx m(G_k) \cdot \Delta x_3^{ki}$.

Выбор отмеченной точки $P_{ki} \in T_{ki}$ реализуем, исходя из следующих соображений:

$$(1) \text{ Пр}_{x_1Ox_2} P_{ki} \equiv M_k, \forall i \geq 1, \text{ т.е. } P_{ki} = (x_{1k}, x_{2k}, x_{3k}^i);$$

$$(2) f(P_{ki}) \Delta x_3^{ki} = \int_{x_3^{ki}}^{x_3^{ki+1}} f(x_{1k}, x_{2k}, x_3) dx_3 \text{ – теорема о среднем.}$$

А так как искомый интеграл существует, то его значение не зависит от выбора разбиения и отмеченных точек. Поэтому

$$\begin{aligned} \iiint_T f(x_1, x_2, x_3) dV &= \lim_{\max d(T_{ki}) \rightarrow 0} \sum_{ki} f(P_{ki}) m(T_{ki}) = \lim_{\max d(T_{ki}) \rightarrow 0} \sum_k \sum_i f(P_{ki}) m(G_k) \Delta x_3^{ki} = \\ &= (\text{теорема о среднем}) = \lim_{\max d(T_{ki}) \rightarrow 0} \sum_k \left\{ \sum_i \int_{x_3^{ki}}^{x_3^{ki+1}} f(x_{1k}, x_{2k}, x_3) dx_3 \right\} m(G_k) = \\ &= \lim_{\max d(G_k) \rightarrow 0} \sum_k \left\{ \int_{\varphi_1(M_k)}^{\varphi_2(M_k)} f(M_k, x_3) dx_3 \right\} m(G_k) = \iint_G \left\{ \int_{\varphi_1(x_1, x_2)}^{\varphi_2(x_1, x_2)} f(x_1, x_2, x_3) dx_3 \right\} dx_1 dx_2 \end{aligned}$$

Пример. Найти массу шара $x_1^2 + x_2^2 + x_3^2 \leq 2ax_3$, если плотность вещества в каждой его точке обратно пропорциональна ее расстоянию до начала координат, т.е.

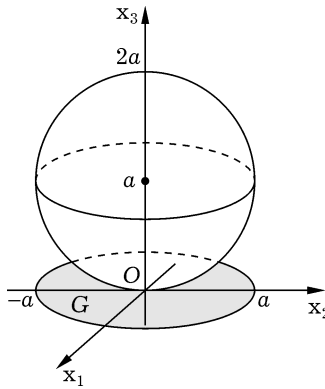


Рис. 10

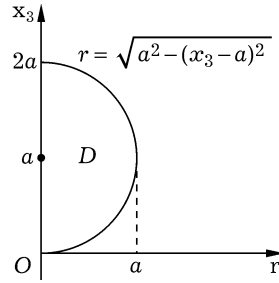


Рис. 11

$$\begin{aligned} M &= \iiint_T \frac{\lambda}{\sqrt{x_1^2 + x_2^2 + x_3^2}} dx_1 dx_2 dx_3 = \lambda \iint_G dx_1 dx_2 \int_{a-\sqrt{a^2-x_1^2-x_2^2}}^{a+\sqrt{a^2-x_1^2-x_2^2}} (x_1^2 + x_2^2 + x_3^2)^{-1/2} dx_3 = \\ &= \left\{ \begin{array}{l} x_1 = r \cos \varphi \\ x_2 = r \sin \varphi \end{array} \right\} = \lambda \int_0^{2\pi} d\varphi \int_0^a r dr \int_{a-\sqrt{a^2-r^2}}^{a+\sqrt{a^2-r^2}} (r^2 + x_3^2)^{-1/2} dx_3 = 2\pi \lambda \iint_D (r^2 + x_3^2)^{-1/2} r dr dx_3 = \end{aligned}$$

$$\begin{aligned}
 &= 2\pi\lambda \int_0^{2a} dx_3 \int_0^{\sqrt{a^2-(x_3-a)^2}} \frac{rdr}{\sqrt{x_3^2+r^2}} = 2\pi\lambda \int_0^{2a} \sqrt{x_3^2+r^2} \Big|_0^{\sqrt{a^2-(x_3-a)^2}} dx_3 = \\
 &= 2\pi\lambda \int_0^{2a} \left\{ \sqrt{x_3^2+a^2-(x_3-a)^2} - x_3 \right\} dx_3 = 2\pi\lambda \int_0^{2a} \left\{ \sqrt{2ax_3} - x_3 \right\} dx_3 = \frac{4}{3}\pi\lambda a^2
 \end{aligned}$$

Замена переменных в тройном интеграле.

Пусть для вычисления тройного интеграла $\iiint_T f(x_1, x_2, x_3) dx_3$ произведена замена пе-

ременных: $\begin{cases} x_1 = \varphi_1(y_1, y_2, y_3) \\ x_2 = \varphi_2(y_1, y_2, y_3) \\ x_3 = \varphi_3(y_1, y_2, y_3) \end{cases}$, где функции $\{\varphi_k\}_{k=1}^3$ определены и непрерывно диффе-
ренцируемы в некоторой трехмерной области B . Если при этом якобиан преобразования
 $J(y_1, y_2, y_3) \triangleq \det \left[\frac{\partial \varphi_k}{\partial y_j} \right] \neq 0; \begin{bmatrix} y_1 \\ \dots \\ y_3 \end{bmatrix} \in B,$

то, рассуждая как и в случае двойного интеграла, можно показать, что при высказанных предполо-
жениях:

$$\iiint_T f(x_1, x_2, x_3) dx_1 dx_2 dx_3 = \iiint_B f(\varphi_1(y_1, y_2, y_3), \dots, \varphi_3(y_1, y_2, y_3)) |J(y_1, y_2, y_3)| dy_1 dy_2 dy_3$$

Переход к цилиндрическим координатам

ЛЕКЦИЯ 4.

$$\begin{aligned}
 \left. \begin{array}{l} x_1 = r \cos \varphi \\ x_2 = r \sin \varphi \\ x_3 = t \end{array} \right\} \Rightarrow J(r, \varphi, t) &= \begin{vmatrix} \partial x_1 / \partial r & \partial x_1 / \partial \varphi & \partial x_1 / \partial t \\ \partial x_2 / \partial r & \partial x_2 / \partial \varphi & \partial x_2 / \partial t \\ \partial x_3 / \partial r & \partial x_3 / \partial \varphi & \partial x_3 / \partial t \end{vmatrix} = \begin{vmatrix} \cos \varphi & -r \sin \varphi & 0 \\ \sin \varphi & r \cos \varphi & 0 \\ 0 & 0 & 1 \end{vmatrix} = r \Rightarrow \\
 &\Rightarrow \iiint_T f dx_1 dx_2 dx_3 = \iiint_B f(r \cos \varphi, r \sin \varphi, t) r dr d\varphi dt
 \end{aligned}$$

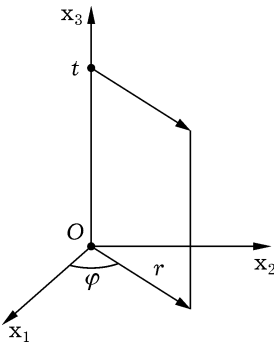


Рис. 12

Пример. Найти массу тела, ограниченного поверхностью $\begin{cases} z = 6 - x^2 - y^2 \\ z^2 = x^2 + y^2 \end{cases}$, если плотность пропорциональна расстоянию до оси OZ , т.е. $\mu \equiv \mu_0 \cdot \sqrt{x^2 + y^2}$.

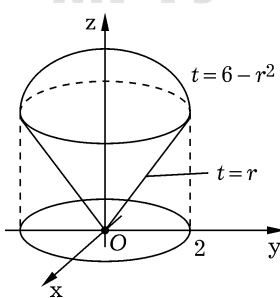


Рис. 13

Имеем:

$$M = \iiint_T \mu \, dx \, dy \, dz = \left\{ \begin{array}{l} x = r \cos \varphi \\ y = r \sin \varphi \\ z = t \end{array} \right\} \Rightarrow \left\{ \begin{array}{l} z = 6 - x^2 - y^2 \iff t = 6 - r^2 - \text{верх} \\ z^2 = x^2 + y^2 \iff t = r - \text{низ} \\ 0 \leq \varphi \leq 2\pi \end{array} \right.$$

$$M = \iiint_B \mu_0 \cdot r \cdot r dr \, d\varphi \, dt = \mu_0 \int_0^{2\pi} d\varphi \int_0^2 r dr \int_r^{6-r^2} r dt = 2\pi \mu_0 \int_0^2 r^2 (6 - r^2 - r) dr = \frac{56\pi\mu_0}{5}.$$

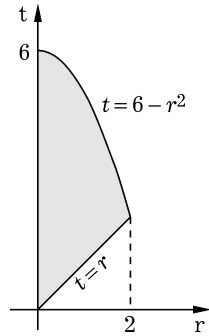


Рис. 14

Переход к обобщенной сферической системе координат

$x_1 = ar \cos \varphi \cos \psi$
 $x_2 = br \sin \varphi \cos \psi$
 $x_3 = cr \sin \psi$

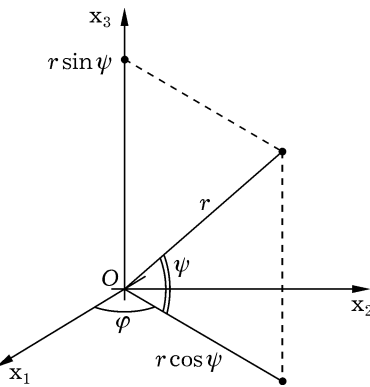


Рис. 15

$$J(r, \varphi, \psi) = \begin{vmatrix} \partial x_1 / \partial r & \partial x_1 / \partial \varphi & \partial x_1 / \partial \psi \\ \partial x_2 / \partial r & \partial x_2 / \partial \varphi & \partial x_2 / \partial \psi \\ \partial x_3 / \partial r & \partial x_3 / \partial \varphi & \partial x_3 / \partial \psi \end{vmatrix} = \begin{vmatrix} a \cos \varphi \cos \psi & -ar \sin \varphi \cos \psi & -ar \cos \varphi \sin \psi \\ b \sin \varphi \cos \psi & br \cos \varphi \cos \psi & -br \sin \varphi \sin \psi \\ c \sin \psi & 0 & cr \cos \psi \end{vmatrix} =$$

$$= abc r^2 \left\{ \sin \psi \begin{vmatrix} -\sin \varphi \cos \psi & -\cos \varphi \sin \psi \\ \cos \varphi \cos \psi & -\sin \varphi \sin \psi \end{vmatrix} + \begin{vmatrix} \cos \varphi \cos \psi & -\sin \varphi \cos \psi \\ \sin \varphi \cos \psi & \cos \varphi \cos \psi \end{vmatrix} \cos \psi \right\} = abc r^2 \cos \psi$$

Пример. Найдем объем эллипсоида с полуосями a, b, c :

$$\begin{aligned} V(T) &= \iiint_{\substack{x_1^2 + x_2^2 + x_3^2 \leq 1 \\ a^2 + b^2 + c^2}} dx_1 dx_2 dx_3 = \left\{ \begin{array}{l} x_1 = ar \cos \varphi \cos \psi \\ x_2 = br \sin \varphi \cos \psi \\ x_3 = cr \sin \psi \\ J = abcr^2 \cos \psi \end{array} \middle| \begin{array}{l} 0 \leq r^2 \leq 1 \\ 0 \leq \varphi < 2\pi \\ -\pi/2 \leq \psi \leq \pi/2 \end{array} \right. \right\} = \\ &= adc \int_0^{2\pi} d\varphi \int_{-\pi/2}^{\pi/2} \cos \psi d\psi \int_0^1 r^2 dr = \frac{4}{3}\pi abc \end{aligned}$$

Криволинейный интеграл

Работа переменной силы по криволинейному пути. Пусть в каждой точке трехмерной области $T \subset \mathbb{R}^3$ на материальную точку $M(x, y, z)$ действует сила $\vec{F}(x, y, z) = P(x, y, z)\vec{i} + Q(x, y, z)\vec{j} + R(x, y, z)\vec{k}$. При перемещении материальной точки $M(x, y, z)$ в области $T \subset \mathbb{R}^3$ по некоторой траектории $L = \{[x, y, z]^T \in T : x = x(t), y = y(t), z = z(t); t \in [t_A; t_B]\}$ совершается работа W , которую и необходимо найти.

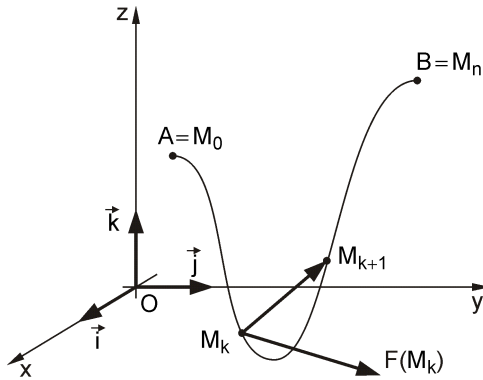


Рис. 16

Далее предполагаем:

- (1) контур L является гладким, т.е. обладает непрерывно изменяющейся касательной, что означает непрерывную дифференцируемость функций $x(t), y(t)$ и $z(t)$ в множестве $[t_A; t_B]$ и $\forall t \in [t_A; t_B]$ должно иметь место неравенство $|x'(t)| + |y'(t)| + |z'(t)| > 0$;
- (2) точка $M(x, y, z)$ описывает L при монотонном изменении параметра t от t_A до t_B ;
- (3) функции $P(x, y, z), Q(x, y, z), R(x, y, z)$ непрерывны на L .

Отрезок $[t_A; t_B]$ точками $\{t_k\}_{k=0}^n : t_A = t_0 < t_1 < \dots < t_n = t_B$ разбиваем на n частей. Каждому значению параметра $t = t_k$ соответствует точка $M_k \in L$ с координатами $x(t_k), y(t_k), z(t_k)$. Соединив все точки $\{M_k\}_{k=0}^n$ отрезками, получаем ломаную с вершинами в этих точках.

Работу ΔW_k силы $\vec{F}(x, y, z)$ на участке $\overrightarrow{M_k M_{k+1}}$ траектории L приближенно считаем равной $(\vec{F}(M_k); \overrightarrow{M_k M_{k+1}})$. При этом

$$\left. \begin{array}{l} \Delta x_k \triangleq x(t_{k+1}) - x(t_k) \\ \Delta y_k \triangleq y(t_{k+1}) - y(t_k) \\ \Delta z_k \triangleq z(t_{k+1}) - z(t_k) \end{array} \right\} \implies \Delta W_k \approx P(M_k) \Delta x_k + Q(M_k) \Delta y_k + R(M_k) \Delta z_k$$

и естественно считать, что

$$W = \lim_{\max \Delta t_k \rightarrow 0} \sum_{k=0}^{n-1} \Delta W_k = \lim_{\max \Delta t_k \rightarrow 0} \sum_{k=0}^n \left[P(M_k) \Delta x_k + Q(M_k) \Delta y_k + R(M_k) \Delta z_k \right].$$

Замечание 1. Если предел в правой части последнего равенства существует и не зависит от выбора системы точек $\{t_k\}$, то его называют *криволинейным интегралом векторной функции* $\vec{F}(x, y, z)$ по ориентированному контуру L и обозначают

$$\int_L P dx + Q dy + R dz \quad \text{или} \quad \int_{\overrightarrow{AB}} P dx + Q dy + R dz$$

Замечание 2. Пусть выполнены исходные допущения и

$$S_n^x \stackrel{\Delta}{=} \sum_{k=0}^{n-1} P(M_k) \Delta x_k = \sum_{k=0}^{n-1} P(x(t_k), y(y_k), z(z_k)) \{x'(t_k) \Delta t_k + o(\Delta t_k)\},$$

где $\Delta t_k \stackrel{\Delta}{=} t_{k+1} - t_k$. А так как P и x' - непрерывны, то

$$\exists \lim_{\max \Delta t_k \rightarrow 0} S_n^x = \int_{tA}^{tB} P(x(t_k), y(y_k), z(z_k)) x'(t) dt$$

Проведя аналогичные рассуждения для

$$S_n^y \stackrel{\Delta}{=} \sum_{k=0}^{n-1} Q(M_k) \Delta y_k ; \quad S_n^z \stackrel{\Delta}{=} \sum_{k=0}^{n-1} R(M_k) \Delta z_k$$

мы не только докажем существование криволинейного интеграла, но и получим формулу для его вычисления:

$$\begin{aligned} \int_L P dx + Q dy + R dz &= \int_{tA}^{tB} \left\{ P(x(t_k), y(y_k), z(z_k)) x'(t) + Q(x(t_k), y(y_k), z(z_k)) y'(t) + \right. \\ &\quad \left. + R(x(t_k), y(y_k), z(z_k)) z'(t) \right\} dt \end{aligned}$$

Замечание 3. Если $A = B$, т.е. контур L является замкнутым, то используют следующее обозначение: $\oint_L P dx + Q dy + R dz$, указывая стрелкой ориентацию замкнутого контура L .

Замечание 4. Непосредственно из определения криволинейного интеграла и замечания 2 следует:

- (А) При изменении направления обхода контура $L = \overrightarrow{AB}$ криволинейный интеграл меняет знак, т.е. $\int_{\overrightarrow{AB}} P dx + Q dy + R dz = - \int_{\overleftarrow{BA}} P dx + Q dy + R dz$;
- (Б) $\int_L P dx + Q dy + R dz = \int_L P dx + \int_L Q dy + \int_L R dz$;

$$(B) \quad \{L = \bigcup_{k=1}^N L_k\} \wedge \{m(L_k \cap L_j) = 0, \forall k \neq j\} \implies \int_L = \sum_{k=1}^N \int_{L_k} ;$$

$$(\Gamma) \quad \{\vec{F} = P(x, y)\vec{i} + Q(x, y)\vec{j}\} \wedge \left\{L = \left\{ \begin{bmatrix} x \\ y \end{bmatrix} : y = f(x), x \in [a, b] \right\} \right\} \implies$$

$$\implies \left\{L = \left\{ \begin{bmatrix} x \\ y \end{bmatrix} : \begin{array}{l} x = t \\ y = f(t) \end{array} ; t \in [a, b] \right\} \right\} \wedge \int_L Pdx + Qdy = \int_a^b \left\{ P(t, f(t)) + Q(t, f(t))f'(t) \right\} dt =$$

$$= \int_a^b P(x, f(x))dx + \int_{f^{-1}(a)}^{f^{-1}(b)} Q(f^{-1}(y), y)dy$$

Пример 1. Пусть $A = (0, 0)$ и $B = (1, 1)$. Нужно вычислить $H_k \triangleq \int_{L_k} 2xydx + x^2dy$.

$$L_1 = \left\{ \begin{bmatrix} x \\ y \end{bmatrix} : y = x, 0 \leq x \leq 1 \right\} \implies (dx = dy) \implies H_1 = \int_0^1 (2x^2 + x^2)dx = x^3 \Big|_0^1 = 1 ;$$

$$L_2 = \left\{ \begin{bmatrix} x \\ y \end{bmatrix} : y = x^2, 0 \leq x \leq 1 \right\} \implies (dy = 2xdx) \implies H_2 = \int_0^1 (2x^2 + 2x^3)dx = x^4 \Big|_0^1 = 1 ;$$

$$L_3 = \left\{ \begin{bmatrix} x \\ y \end{bmatrix} : x = y^2, 0 \leq x \leq 1 \right\} \implies (dx = 2ydy) \implies H_3 = \int_0^1 (4y^4 + y^4)dy = y^5 \Big|_0^1 = 1 ,$$

т.е. в рассматриваемом случае результат не зависит от профиля L и определяется лишь концевыми точками.

Пример 2.

$$\oint_{x^2+y^2=1} \frac{-y}{x^2+y^2} dx + \frac{x}{x^2+y^2} dy = \left\{ \begin{array}{l} x = \cos t \quad ; \quad dx = -\sin tdt \\ y = \sin t \quad ; \quad dy = \cos tdt \end{array} \right\} = \int_0^{2\pi} \left\{ \sin^2 t + \cos^2 t \right\} dt = 2\pi$$

Формула Грина

При дальнейших рассуждениях область $G \subset \mathbb{R}$, ограниченную замкнутым контуром L , будем называть односвязной, если любой замкнутый контур $l \subset G$ может быть стянут в точку без пересечения Γ_G .

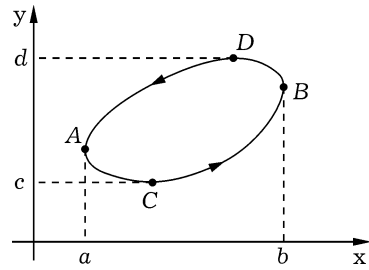


Рис. 17

Пусть $G \subset \mathbb{R}^2$ - односвязная область, ограниченная кусочно-гладким замкнутым контуром L , и в замкнутой области $G \cup L$ определены и непрерывны скалярные функции $P(x, y)$, $P'_y(x, y)$, $Q(x, y)$, $Q'_x(x, y)$.

Пусть прямые, параллельные координатным осям, пересекают L не более чем в двух точках (прямые $x = a$, $x = b$ и $y = c$, $y = d$ могут пересекать Γ_G и по отрезкам прямых) и $\text{Пр}_{OX}G = [a, b]$, $\text{Пр}_{OY}G = [c, d]$, а участки контура L описываются уравнениями:

$$\begin{aligned} \overbrace{ACB}^{} : y &= \varphi_1(x) \\ \overbrace{BDA}^{} : y &= \varphi_2(x) \end{aligned} ; \quad \begin{aligned} \overbrace{DAC}^{} : x &= \psi_1(y) \\ \overbrace{CBD}^{} : y &= \psi_2(x) \end{aligned}$$

В этом случае

$$\begin{aligned} \oint_L Pdx + Qdy &= \oint_L Pdx + \oint_L Qdy = \int_{\overbrace{ACB}^{}} P(x, y)dx + \int_{\overbrace{BDA}^{}} P(x, y)dx + \int_{\overbrace{DAC}^{}} Q(x, y)dy + \int_{\overbrace{CBD}^{}} Q(x, y)dy = \\ &= \int_a^b P(x, \varphi_1(x))dx + \int_b^a P(x, \varphi_2(x))dx + \int_d^c Q(\psi_1(y), y)dy + \int_c^d Q(\psi_2(y), y)dy = - \int_a^b \left\{ P(x, y) \Big|_{\varphi_1(x)}^{\varphi_2(x)} \right\} dx + \\ &+ \int_c^d \left\{ Q(x, y) \Big|_{\psi_1(y)}^{\psi_2(y)} \right\} dy = - \int_a^b dx \int_{\varphi_1(x)}^{\varphi_2(x)} \frac{\partial P(x, y)}{\partial y} dy + \int_c^d dy \int_{\psi_1(y)}^{\psi_2(y)} \frac{\partial Q(x, y)}{\partial x} dx = \iint_G \left\{ Q'_x - P'_y \right\} dxdy \end{aligned}$$

Полученное равенство $\oint_L Pdx + Qdy = \iint_G \left\{ Q'_x - P'_y \right\} dxdy$ известно как *формула Грина*.

Пример 2*. В условиях примера 2

$$P = \frac{-y}{x^2 + y^2} \implies P'_y = -\frac{(x^2 + y^2) - 2y^2}{(x^2 + y^2)^2} = \frac{y^2 - x^2}{(x^2 + y^2)^2}$$

$$Q = \frac{x}{x^2 + y^2} \implies Q'_x = \frac{(x^2 + y^2) - 2x^2}{(x^2 + y^2)^2} = \frac{y^2 - x^2}{(x^2 + y^2)^2}$$

Формально по формуле Грина

$$\oint_{x^2+y^2=1} Pdx + Qdy = \iint_{x^2+y^2 \leq 1} \left\{ Q'_x - P'_y \right\} dxdy = \iint_{x^2+y^2 \leq 1} 0 \cdot dxdy = 0.$$

Несоответствие с ранее полученным результатом обусловлено тем, что формула Грина была получена в предположении непрерывности в $G \cup \Gamma_G$ функций P , P'_y , Q и Q'_x , а в рассматриваемом примере это условие не выполняется в точке θ .

Замечание 1. Пусть прямые, параллельные координатным осям, пересекают Γ_G более, чем в двух точках, но все остальные допущения, при которых получена формула Грина выполнены.

Воспользовавшись свойствами криволинейного интеграла $\int_{\overbrace{AB}^{}} + \int_{\overbrace{BA}^{}} = 0 = \int_{\overbrace{BC}^{}} + \int_{\overbrace{CB}^{}}$, получаем
(см.рис.)

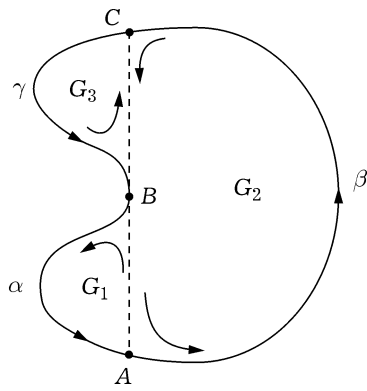


Рис. 18

$$\oint_G = \int_{\overset{\curvearrowleft}{BA}} + \int_{\overset{\curvearrowleft}{AB}} + \int_{\overset{\curvearrowleft}{A\beta C}} + \int_{\overset{\curvearrowleft}{CB}} + \int_{\overset{\curvearrowleft}{BA}} + \int_{\overset{\curvearrowleft}{C\gamma B}} + \int_{\overset{\curvearrowleft}{BC}} = \iint_{G_1} \{Q'_x - P'_y\} dx dy + \iint_{G_2} \{Q'_x - P'_y\} dx dy + \iint_{G_3} \{Q'_x - P'_y\} dx dy = \iint_G \{Q'_x - P'_y\} dx dy,$$

т.е. формула Грина применима и для невыпуклых областей.

Замечание 2. Пусть при выводе формулы Грина нарушено условие односвязности области G . Пусть для определенности G - двухсвязная область с положительной ориентацией Γ_G - при ее обходе G остается слева. Разрезами AB и CD превращаем G в две односвязные области G_1 , G_2 и

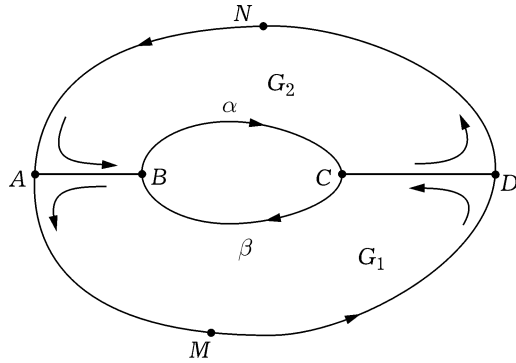


Рис. 19

$$\oint_G = \left\{ \int_{\overset{\curvearrowleft}{AMD}} + \int_{\overset{\curvearrowleft}{DC}} + \int_{\overset{\curvearrowleft}{C\beta B}} + \int_{\overset{\curvearrowleft}{BA}} \right\} + \left\{ \int_{\overset{\curvearrowleft}{DNA}} + \int_{\overset{\curvearrowleft}{AB}} + \int_{\overset{\curvearrowleft}{B\alpha C}} + \int_{\overset{\curvearrowleft}{CD}} \right\} = \iint_{G_1} \{Q'_x - P'_y\} dx dy + \iint_{G_2} \{Q'_x - P'_y\} dx dy = \iint_G \{Q'_x - P'_y\} dx dy,$$

т.е. формула Грина применима и для неодносвязных областей.

Условия независимости криволинейного интеграла от пути интегрирования

Теорема. Если $P(x, y)$, $P'_y(x, y)$, $Q(x, y)$, $Q'_x(x, y)$ определены и непрерывны в замкнутой ограниченной односвязной области $G \cup L$, где $L \triangleq \Gamma_G$, то следующие четыре условия эквивалентны:

$$(1) \quad \oint_l P dx + Q dy = 0, \quad \forall l \in G; \quad (3) \quad \text{в } G \text{ определена } u(x, y) : du = P dx + Q dy;$$

$$(2) \quad \int_{\overset{\curvearrowleft}{AB}} P dx + Q dy \text{ не зависит от профиля } \overset{\curvearrowleft}{AB} \in G; \quad (4) \quad P'_y \equiv Q'_x, \quad \forall \begin{bmatrix} x \\ y \end{bmatrix} \in G.$$

Доказательство. Достаточно доказать, что $(1) \Rightarrow (2) \Rightarrow (3) \Rightarrow (4) \Rightarrow (1)$.

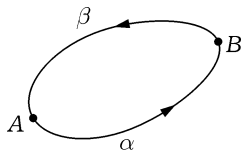


Рис. 20

$(1) \Rightarrow (2)$. Пусть (1) имеет место. Тогда $0 \equiv \oint_{(A\alpha B) \cup (B\beta A)} = \int_{\overset{\curvearrowleft}{A\alpha B}} + \int_{\overset{\curvearrowleft}{B\beta A}} \equiv \int_{\overset{\curvearrowleft}{A\alpha B}} - \int_{\overset{\curvearrowleft}{A\beta B}}$, т.е. $\int_{\overset{\curvearrowleft}{AB}}$ зависит от профиля $\overset{\curvearrowleft}{AB} \in G$.

$(2) \Rightarrow (3)$. Пусть (2) имеет место. Пусть точка $A = [x_0, y_0]^T \in G$ - фиксирована и точка $B = [x, y]$ – произвольна.

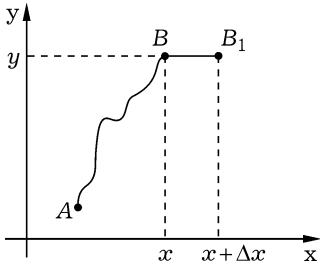


Рис. 21

Тогда $u(x, y) \triangleq \int_{\overset{\curvearrowleft}{AB}} Pdx + Qdy$ и

$$\begin{aligned} \frac{\partial u}{\partial x} &= \lim_{\Delta x \rightarrow 0} \frac{u(x + \Delta x, y) - u(x, y)}{\Delta x} = \lim_{\Delta x \rightarrow 0} \frac{1}{\Delta x} \int_{\overset{\curvearrowleft}{BB_1}} Pdx + Qdy \equiv \\ &\equiv \left\{ \text{т.к. } BB_1 \parallel OX \right\} \equiv \lim_{\Delta x \rightarrow 0} \frac{1}{\Delta x} \int_x^{x + \Delta x} P(x, y) dx = \lim_{\Delta x \rightarrow 0} P(x + \theta \Delta x, y) \Big|_{0 \leq \theta \leq 1} = P(x, y), \end{aligned}$$

т.к. $P(x, y)$ непрерывна в G . Аналогично доказывается: $u'_y = Q$. Т.о. $du = u'_x dx + u'_y dy = Pdx + Qdy$, что и требовалось доказать.

$(3) \Rightarrow (4)$. Пусть (3) имеет место, т.е. $\exists u(x, y) : du = Pdx + Qdy$. А т.к. P'_y, Q'_x определены и непрерывны в $G \cup \Gamma_G$, то по теореме о смешанных производных имеем: $Q'_x = \{u'_y\}'_x \equiv \{u'_x\}'_y = P'_y$ в G , что и т.д.

$(4) \Rightarrow (1)$. Пусть (4) имеет место и l - любой замкнутый контур, охватывающий область $D \subset G$. Тогда выполнены все условия реализации формулы Грина и

$$\oint_l Pdx + Qdy = \iint_D \{Q'_y - P'_x\} dxdy = \iint_D 0 \cdot dxdy = 0, \text{ что и т.д.}$$

Поверхностные интегралы

Понятие поверхностного интеграла I-го рода. Пусть в точках кусочно-гладкой поверхности S , ограниченной кусочно-гладким замкнутым контуром Γ_S , определена ограниченная функция $f(x, y, z)$.

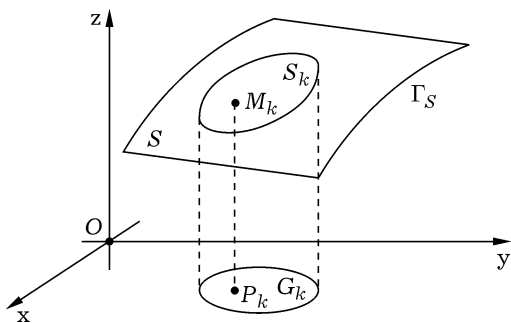


Рис. 22

Пусть Π - разбиение S на систему подобластей $\{S_k\}$, пересекающихся, быть может, лишь по границам, с отмеченными точками $\{M_k\}$, где $M_k \in S_k$. Если $\Delta\sigma_k \triangleq m(S_k)$ - площадь S_k и вне зависимости от выбора разбиения Π существует и конечен $\lim_{\max d(S_k) \rightarrow 0} \sum_k f(M_k)\Delta\sigma_k$, то его называют *поверхностным интегралом I-го рода* функции f по поверхности S и обозначают $\iint_S f(x, y, z)d\sigma$.

Замечания.

1. Переменные x, y, z в поверхностном интеграле I-го рода не являются свободными. Они связаны уравнением поверхности.

2. Если, например, $S \triangleq \left\{ \begin{bmatrix} x \\ y \\ z \end{bmatrix} \in \mathbb{R}^3 : z = z(x, y), \begin{bmatrix} x \\ y \end{bmatrix} \in G \subset \mathbb{R}^2 \right\}$ – гладкая поверхность,

на которой определена непрерывная функция $f(x, y, z)$, то $G = \text{Пр}_{XOY}S$ и $G_k \triangleq \text{Пр}_{XOY}S_k$, $P_k \triangleq \text{Пр}_{XOY}M_k$ – элементы разбиения области G . Кроме того,

$$\Delta\sigma_k \triangleq m(S_k) = \iint_{G_k} \sqrt{1 + (z'_x)^2 + (z'_y)^2} dx dy = \left\{ \begin{array}{l} \text{т. о среднем} \\ \exists P_k^* \in G_k \end{array} \right\} = \sqrt{1 + (z'_x)^2 + (z'_y)^2} \Big|_{P_k^*} \cdot m(G_k).$$

Но z'_x и z'_y – непрерывны в G , т.к. S – гладкая поверхность, т.е.

$$\sqrt{1 + \{z'_x(P_k^*)\}^2 + \{(z'_y(P_k^*))\}^2} = \sqrt{1 + \{z'_x(P_k)\}^2 + \{(z'_y(P_k))\}^2} + o(\|\overrightarrow{P_k P_k^*}\|).$$

А т.к. $M_k = \begin{bmatrix} P_k \\ z(P_k) \end{bmatrix}$, то, переходя к пределу в интегральной сумме, получаем:

$$\iint_S f(x, y, z) d\sigma = \iint_G f(x, y, z(x, y)) \sqrt{1 + \{z'_x(x, y)\}^2 + \{(z'_y(x, y))\}^2} dx dy$$

3. Поверхностный интеграл I-го рода обладает стандартными свойствами, что следует из его связи с двойным интегралом. Он используется, в частности, при определении статических моментов и моментов инерции тонких неоднородных поверхностей.

Поверхностный интеграл II-го рода

Определение 1. Гладкую поверхность S называют двухсторонней, если обход по любому замкнутому контуру, лежащему на поверхности S и не имеющему с ее границей Γ_S общих точек, не меняет направление нормали к S на противоположное.

Замечания к определению 1.

- Любую поверхность, которая не является двухсторонней, называют односторонней поверхностью - пример таковой - лист Мёбиуса.
- Всякая гладкая поверхность, заданная уравнением $z = z(x, y)$ - двухсторонняя.
- Любая замкнутая поверхность без самопересечений (например сфера) - двухсторонняя поверхность.

Определение 2. Пусть в \mathbb{R}^3 с фиксированной левой (правой) декартовой системой координат определена двухсторонняя поверхность S , ограниченная замкнутыми контурами $\{L_k\}_{k=1}^n$. Говорят, что S ориентирована по правилу внешней нормали, если наблюдатель, расположенный на поверхности так, что направление от ног к голове совпадает с направлением вектора нормали \vec{n} , наблюдает положительный обход контуров $\{L_k\}_{k=1}^n$ - область (поверхность) S остается слева (справа для правой системы координат).

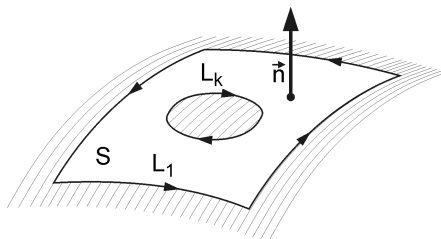


Рис. 23

**Задача о потоке несжимаемой жидкости
через прозрачную ориентированную поверхность**

Пусть \mathbb{R}^3 заполнено стационарно движущейся несжимаемой жидкостью с вектором скорости $\vec{V}(x, y, z) = iP(x, y, z) + jQ(x, y, z) + kR(x, y, z)$.

Необходимо определить количество жидкости, протекающее в единицу времени через ориентированную по правилу внешней нормали поверхность S , прозрачную для жидкости.

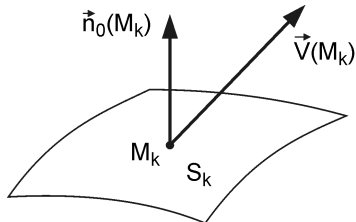


Рис. 24

Решение. Пусть имеем разбиение $\{S_k\}$ поверхности S и $\{M_k\}$ - произвольные отмеченные точки. Тогда искомый поток (количество жидкости в единицу времени)

$$\Pi = \lim_{\max d(S_k) \rightarrow 0} \sum_k (\vec{V}(M_k); \vec{n}_0(M_k)) \cdot m(S_k) \quad (*)$$

Замечания.

- Если предел в правой части равенства (*) существует, конечен и не зависит от выбора разбиения S и выбора отмеченных точек, то его называют *поверхностным интегралом векторной функции* $\vec{V}(x, y, z)$ по поверхности S , ориентированной по правилу внешней нормали (поверхностным интегралом II-го рода) и обозначают

$$\iint_S (\vec{V}(x, y, z); \vec{n}_0(x, y, z)) d\sigma \equiv \iint_S \{ P \cos(\widehat{\vec{n}; \vec{i}}) + Q \cos(\widehat{\vec{n}; \vec{j}}) + R \cos(\widehat{\vec{n}; \vec{k}}) \} d\sigma$$

$\sigma \triangleq m(S)$, \vec{n}_0 - единичный вектор для \vec{n} .

2. Поверхностный интеграл II-го рода - поверхностный интеграл I-го рода, зависящий не только от векторной функции $\vec{V} = \vec{i}P + \vec{j}Q + \vec{k}R$, но и от направления внешней нормали в каждой точке поверхности S .

3.

$$\iint_S \{P \cos(\widehat{\vec{n}; \vec{i}}) + Q \cos(\widehat{\vec{n}; \vec{j}}) + R \cos(\widehat{\vec{n}; \vec{k}})\} d\sigma \equiv \iint_S P \cos(\widehat{\vec{n}; \vec{i}}) d\sigma + \iint_S Q \cos(\widehat{\vec{n}; \vec{j}}) d\sigma + \iint_S R \cos(\widehat{\vec{n}; \vec{k}}) d\sigma.$$

4. Для односторонней поверхности понятие поверхностного интеграла II-го рода не вводится.

5. При переходе на противоположную сторону поверхности S поверхностный интеграл II-го рода меняет знак.

6. Если $S = \left\{ \begin{bmatrix} x \\ y \\ z \end{bmatrix} : z = z(x, y); \begin{bmatrix} x \\ y \end{bmatrix} \in G_{xy} \right\}$ и вектор нормали $\vec{n}(x, y, z)$ образует с OZ острый угол, т.е. интеграл берется по "верхней" части поверхности S , то

$$\iint_S R(x, y, z) \cos(\widehat{\vec{n}; \vec{k}}) d\sigma = \iint_{G_{xy}} R(x, y, z(x, y)) dx dy$$

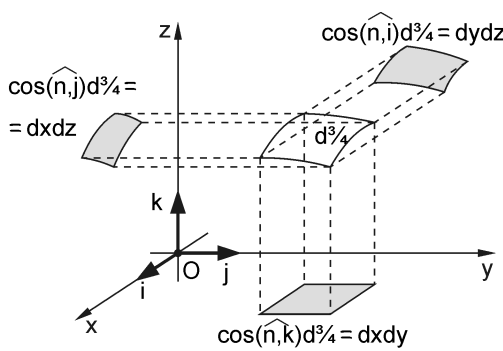


Рис. 25

Поэтому (см. рис.) при записи поверхностного интеграла II-го рода используют и следующую форму:

$$\iint_S P dy dz + \iint_S Q dz dx + \iint_S R dx dy.$$

Пример 1. Пусть S - внешняя часть верхней полусферы радиуса a с центром в начале координат, т.е.

$$S = \left\{ \begin{bmatrix} x \\ y \\ z \end{bmatrix} : z = \sqrt{a^2 - x^2 - y^2}; x^2 + y^2 \leq a^2 \right\}.$$

В этом случае

$$\begin{aligned} J \triangleq \iint_S z^3 dx dy &= + \iint_{x^2+y^2 \leq a^2} \{a^2 - x^2 - y^2\}^{3/2} dx dy = \left\{ \begin{array}{l} x = r \cos \varphi \\ y = r \sin \varphi \end{array} \right\} = \int_0^{2\pi} d\varphi \int_0^a (a^2 - r^2)^{3/2} r dr = \\ &= 2\pi \left(-\frac{1}{2} \right) (a^2 - r^2)^{5/2} \cdot \frac{2}{5} \Big|_0^a = \frac{2\pi}{5} a^5 \end{aligned}$$

7. Совершенно аналогично можно рассматривать поверхностный интеграл II-го рода по ориентированной замкнутой поверхности.

Пример 2. Пусть S ограничивает прямой круговой цилиндр высоты h и с радиусом основания a . Пусть S ориентирована по правилу внешней нормали и необходимо вычислить $J = \iint_S x dy dz + y dx dy \equiv J_1 + J_2$, где $J_1 \triangleq \iint_S P dy dz \equiv \iint_S x dy dz$, $J_2 \triangleq \iint_S R dx dy \equiv \iint_S y dx dy$.

Согласно рис. имеем:

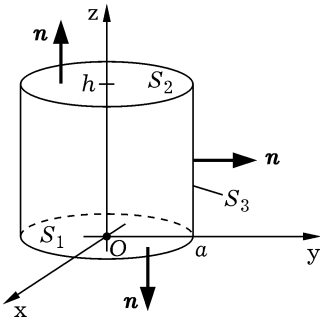


Рис. 26

$$J_2 \triangleq - \iint_{S_1} + \iint_{S_2} + \iint_{S_3} y \cos(\vec{n}; \vec{k}) d\sigma = - \iint_{x^2+y^2 \leq a^2} y dx dy + \iint_{x^2+y^2 \leq a^2} y dx dy \equiv 0.$$

$$J_1 = \iint_{S_1} x \cos(\vec{n}; \vec{i}) d\sigma + \iint_{S_2} x \cos(\vec{n}; \vec{i}) d\sigma + \iint_{S_3} x dy dz.$$

А т.к. $S_3 = \left\{ \begin{bmatrix} x \\ y \\ z \end{bmatrix} : x^2 + y^2 = a^2 \wedge 0 \leq z \leq h^2 \right\}$, то $S_3 = S_3^+ \cup S_3^-$, где S_3^+ - "передняя" часть S_3 ,

внешняя нормаль к которой образует острый угол с OX , а S_3^- - "задняя" часть S_3 . Таким образом:

$$\begin{aligned} J_1 &= \iint_{S_3^+} - \iint_{S_3^-} \equiv \iint_{\substack{-a \leq y \leq a \\ 0 \leq z \leq h}} \{ +\sqrt{a^2 - y^2} \} dy dz - \iint_{\substack{-a \leq y \leq a \\ 0 \leq z \leq h}} \{ -\sqrt{a^2 - y^2} \} dy dz = \\ &= 2 \int_0^h dz \int_{-a}^a \sqrt{a^2 - y^2} dy = 4h \int_0^a \sqrt{a^2 - y^2} dy = \left\{ \begin{array}{l} y = a \sin t \\ dy = a \cos t dt \end{array} ; 0 \leq \varphi \leq \frac{\pi}{2} \right\} = 4ha^2 \int_0^{\pi/2} \cos^2 t dt = \\ &\quad = 2ha^2 \int_0^{\pi/2} \{ 1 + \cos 2t \} dt = \pi ha^2 \end{aligned}$$

Формула Остроградского-Гаусса

Пусть трехмерная область $T \subset \mathbb{R}^3$ ограничена кусочно-гладкими поверхностями S_1 , S_2 и цилиндрической поверхностью S_3 , образующая которой параллельна OZ . Таким образом $\Gamma_T = S_1 \cup S_2 \cup S_3$, а саму область называют z -цилиндрической.

Пусть далее $R(x, y, z)$ и $R'_z(x, y, z)$ определены и непрерывны в замкнутой области $T \cup \Gamma_T$, а замкнутая поверхность Γ_T ориентирована по правилу внешней нормали.

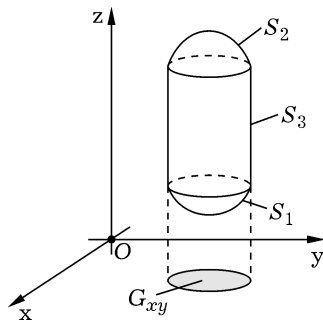


Рис. 27

Тогда

$$\begin{aligned} \iint\limits_{\Gamma_T} R \cos(\vec{n}; \vec{k}) d\sigma &= \iint\limits_{S_1} R \cos(\vec{n}; \vec{k}) d\sigma + \iint\limits_{S_2} R \cos(\vec{n}; \vec{k}) d\sigma + \iint\limits_{S_3} R \cos(\vec{n}; \vec{k}) d\sigma = \\ &= - \iint\limits_{G_{xy}} R(x, y, \varphi_1(x, y)) dx dy + \iint\limits_{G_{xy}} R(x, y, \varphi_2(x, y)) dx dy \equiv \iint\limits_{G_{xy}} dx dy \int\limits_{\varphi_1(x, y)}^{\varphi_2(x, y)} \frac{\partial R(x, y, z)}{\partial z} dz \equiv \\ &\equiv \iiint\limits_T R'_z(x, y, z) dx dy dz \end{aligned}$$

Совершенно аналогично, если T является еще и x -цилиндрической и y -цилиндрической, а в $T \cup \Gamma_T$ определены и непрерывны функции $P(x, y, z)$, $Q(x, y, z)$, $P'_x(x, y, z)$, $Q'_y(x, y, z)$, то

$$\iint\limits_{\Gamma_T} P \cos(\vec{n}; \vec{i}) d\sigma = \iiint\limits_T P'_x dx dy dz ; \quad \iint\limits_{\Gamma_T} Q \cos(\vec{n}; \vec{j}) d\sigma = \iiint\limits_T Q'_y dx dy dz$$

и мы приходим к равенству, известному как *формула Остроградского-Гаусса*:

$$\iint\limits_{\Gamma_T} P dy dz + Q dz dx + R dx dy \equiv \iiint\limits_T \{P'_x + Q'_y + R'_z\} dx dy dz$$

Пример 3. Пусть S - сфера с центром в начале координат, радиусом a и внешней ориентацией.

$$\begin{aligned} \iint\limits_S x^3 dy dz + y^3 dz dx + z^3 dx dy &= 3 \iiint\limits_{x^2+y^2+z^2 \leq a^2} (x^2 + y^2 + z^2) dx dy dz = \\ &= \left\{ \begin{array}{l} x = r \cos \varphi \cos \psi \\ y = r \sin \varphi \cos \psi \\ z = r \sin \psi \end{array} \middle| \begin{array}{l} 0 \leq \varphi < 2\pi \\ -\pi/2 < \psi < \pi/2 \\ 0 \leq r \leq a \end{array} \right\} = 3 \int\limits_0^{2\pi} d\varphi \int\limits_{-\pi/2}^{\pi/2} \cos \psi d\psi \int\limits_0^a r^2 \cdot r^2 dr = \frac{12}{5} \pi a^5 \end{aligned}$$

Замечания.

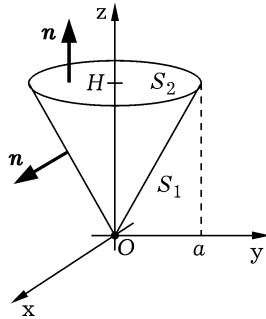
1. Область, являющаяся одновременно x , y , и z -цилиндрической, называют простой.

2. Формула Остроградского-Гаусса может быть получена и при менее жестких ограничениях: T в \mathbb{R}^3 имеет конечный диаметр, а Γ_T - объединение конечного числа кусочно-гладких поверхностей; P, Q, R непрерывны в $T \cup \Gamma_T$; P'_x, Q'_y, R'_z - непрерывны в T и $\exists \iiint\limits_T \{P'_x + Q'_y + R'_z\} dx dy dz$.

Пример 4. В условиях примера 2 : $P \equiv x$, $Q \equiv 0$, $R \equiv y$. Таким образом

$$\iint\limits_{\Gamma_T} x dy dz + y dx dy = \iiint\limits_T \{1 + 0 + 0\} dx dy dz = m(T) = \pi a^2 h.$$

Пример 5. $J \triangleq \iint_{S_1} x^3 dy dz + y^3 dz dx + z^3 dx dy = \{\text{см.рис.}\} = J_1 - J_2$.



$$S_1 = \left\{ \begin{bmatrix} x \\ y \\ z \end{bmatrix} : z = \frac{H}{a} \sqrt{x^2 + y^2}, x^2 + y^2 \leq a \right\}, \quad S_2 = \left\{ \begin{bmatrix} x \\ y \\ z \end{bmatrix} : \begin{array}{l} x^2 + y^2 \leq a \\ z = H \end{array} \right\}$$

$$\begin{aligned} J_1 &\triangleq \iint_{S_1 \cup S_2} = \iiint_T \{3x^2 + 3y^2 + 3z^2\} dx dy dz = \left\{ \begin{array}{l} x = r \cos \varphi \\ y = r \sin \varphi \\ z = t \end{array} \middle| \begin{array}{l} 0 \leq r \leq a \\ 0 \leq t \leq \frac{H}{a} \\ 0 \leq \varphi \leq 2\pi \end{array} \right\} = \\ &= 3 \int_0^{2\pi} d\varphi \int_0^H dt \int_0^{at/H} \{r^2 + t^2\} r dr = 6\pi \int_0^H \left\{ \frac{r^4}{4} + \frac{r^2}{2} t^2 \right\} \Big|_0^{at/H} dt = \frac{3\pi}{2} \int_0^H \left\{ \frac{a^4}{H^4} t^4 + 2 \frac{a^2}{H^2} t^4 \right\} dt = \\ &= \frac{3\pi}{10} a^2 (a^2 + 2H^2) H. \end{aligned}$$

$$J_2 \triangleq \iint_{S_2} \{x^3 \underbrace{\cos(\vec{n}; \vec{i})}_0 + y^3 \underbrace{\cos(\vec{n}; \vec{j})}_0 + z^3 \underbrace{\cos(\vec{n}; \vec{k})}_1\} d\sigma \equiv \iint_{S_2} z^3 dx dy = \iint_{x^2+y^2 \leq a^2} H^3 dx dy = \pi a^2 H^3$$

Таким образом

$$J = J_1 - J_2 = \frac{3\pi}{10} a^2 (a^2 + 2H^2) H - \pi a^2 H^3 = \pi a^2 (0.3a^2 - 0.4H^2) H$$

Формула Стокса

Формула Стокса устанавливает связь между криволинейным интегралом в \mathbb{R}^3 и поверхностным интегралом II-го рода.

Пусть S - гладкая поверхность, ориентированная по правилу внешней нормали и ограниченная ориентированным замкнутым контуром $\lambda \triangleq \Gamma_S$.

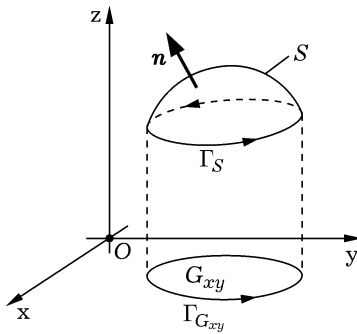


Рис. 29

Пусть в некоторой области из \mathbb{R}^3 , содержащей поверхность S , определена и непрерывно дифференцируема векторная функция $\vec{A}(x, y, z) = \vec{i}P(x, y, z) + \vec{j}Q(x, y, z) + \vec{k}R(x, y, z)$. Пусть для определенности $S = \left\{ \begin{bmatrix} x \\ y \\ z \end{bmatrix} : z = z(x, y), \begin{bmatrix} x \\ y \end{bmatrix} \in G_{xy} \subset \mathbb{R}^2 \right\}$. В этом случае $G_{xy} = \text{Пр}_{XOY}S$; $L = \text{Пр}_{XOY}\lambda$. Рассмотрим

$$J_1 \triangleq \iint_{\lambda} P(x, y, z) dx = \iint_L P(x, y, z(x, y)) dx = \left\{ \begin{array}{l} \text{формула} \\ \text{Грина} \end{array} \right\} = - \iint_{G_{xy}} \left\{ \frac{\partial P}{\partial y} + \frac{\partial P}{\partial z} \cdot \frac{\partial z}{\partial y} \right\} dxdy,$$

т.к. $P(x, y, z(x, y))$ - сложная функция. $\vec{n} = \begin{bmatrix} z'_x \\ z'_y \\ -1 \end{bmatrix} = \gamma \vec{n}_0 = \gamma \begin{bmatrix} \cos(\widehat{\vec{n}, \vec{i}}) \\ \cos(\widehat{\vec{n}, \vec{j}}) \\ \cos(\widehat{\vec{n}, \vec{k}}) \end{bmatrix} \Rightarrow z'_y = -\frac{\cos(\widehat{\vec{n}, \vec{j}})}{\cos(\widehat{\vec{n}, \vec{k}})}$.

Таким образом

$$\begin{aligned} J_1 &= \iint_{G_{xy}} \left\{ \frac{\partial P}{\partial y} - \frac{\partial P}{\partial z} \cdot \frac{\cos(\widehat{\vec{n}, \vec{j}})}{\cos(\widehat{\vec{n}, \vec{k}})} \right\} dxdy = \{ dxdy = d\sigma \cos(\widehat{\vec{n}, \vec{k}}) \} = \\ &= \iint_S \left\{ \frac{\partial P}{\partial z} \cos(\widehat{\vec{n}, \vec{j}}) - \frac{\partial P}{\partial y} \cos(\widehat{\vec{n}, \vec{k}}) \right\} d\sigma \quad (1) \end{aligned}$$

Если $S = \left\{ \begin{bmatrix} x \\ y \\ z \end{bmatrix} : y = y(x, z), \begin{bmatrix} x \\ z \end{bmatrix} \in G_{xz} \subset \mathbb{R}^2 \right\}$, то равенство (1) получаем по той же схеме.

Если S - часть плоскости, ортогональной OX , то равенство (1) очевидно, т.к. $\text{Пр}_{XOY}S$ - отрезок и $\text{Пр}_{XOZ}S$ - отрезок.

Аналогично равенству (1) получаем:

$$\oint_{\lambda} Q dy = \iint_S \left\{ \frac{\partial Q}{\partial x} \cos(\widehat{\vec{n}, \vec{k}}) - \frac{\partial Q}{\partial z} \cos(\widehat{\vec{n}, \vec{i}}) \right\} d\sigma ;$$

$$\oint_{\lambda} R dz = \iint_S \left\{ \frac{\partial R}{\partial y} \cos(\widehat{\vec{n}, \vec{i}}) - \frac{\partial R}{\partial x} \cos(\widehat{\vec{n}, \vec{j}}) \right\} d\sigma .$$

Таким образом имеем:

$$\begin{aligned} \oint_{\lambda} P dx + Q dy + R dz &= \iint_S \left\{ (Q'_x - P'_y) \cos(\widehat{\vec{n}, \vec{k}}) + (R'_y - Q'_z) \cos(\widehat{\vec{n}, \vec{i}}) + (P'_z - R'_x) \cos(\widehat{\vec{n}, \vec{j}}) \right\} d\sigma = \\ &= \iint_S (Q'_x - P'_y) dxdy + (R'_y - Q'_z) dydz + (P'_z - R'_x) dzdx \equiv \\ &\equiv \iint_S \left(\begin{vmatrix} \vec{i} & \vec{j} & \vec{k} \\ \partial/\partial x & \partial/\partial y & \partial/\partial z \\ P & Q & R \end{vmatrix} ; \vec{i} dydz + \vec{j} dzdx + \vec{k} dxdy \right) \end{aligned}$$

Замечания.

1. Можно показать, что формула Стокса остается справедливой и в том случае, когда S - объединение конечного числа кусочно-гладких поверхностей.

2. Как и в плоском случае может быть сформулирована и доказана теорема о четырех эквивалентных условиях: если $P(x, y, z)$, $Q(x, y, z)$, $R(x, y, z)$ определены и непрерывно дифференцируемы в замкнутой ограниченной односвязной области $T \subset \mathbb{R}^3$, то следующие четыре условия эквивалентны:

$$(1) \quad \oint_L P dx + Q dy + R dz \equiv 0, \quad \forall L \subset T ;$$

$$(2) \quad \int\limits_{\overbrace{AB}} P dx + Q dy + R dz \text{ не зависит от профиля дуги } \overbrace{AB}, \text{ содержащейся в } T ;$$

$$(3) \quad \exists u(x, y, z) : du = P dx + Q dy + R dz \text{ в } T ;$$

$$(4) \quad \begin{vmatrix} \vec{i} & \vec{j} & \vec{k} \\ \partial/\partial x & \partial/\partial y & \partial/\partial z \\ P & Q & R \end{vmatrix} \equiv \vec{\Theta} \text{ в } T, \text{ т.е. } \begin{aligned} R'_y &\equiv Q'_z \\ R'_x &\equiv P'_z \\ Q'_x &\equiv P'_y \end{aligned} .$$